

# 自控原理习题解答第七章

侯一凡

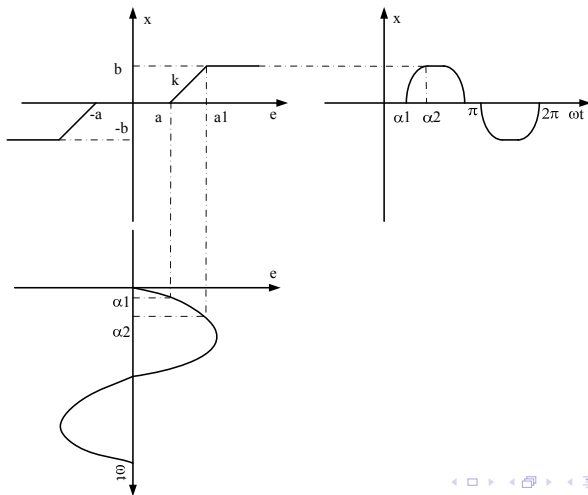
yfhou@xidian.edu.cn

《自动控制原理》

2014

## 第七章 7-1-1

(1) 从图中得知该非线性特性环节是具有死区的饱和特性，  
设  $e(t) = A \sin \omega t$ ，且令  $\alpha_1 = \arcsin \frac{a}{A}$ ， $\alpha_2 = \arcsin \frac{a_1}{A} = \arcsin \frac{b - ka}{Ak}$ ，  
 $b = k(a_1 - a)$ 。系统正弦输入信号  $e(t)$ ，非线性特性  $x(e)$  及  $x(t)$  的曲线图  
如下所示：



死区饱和和非线性环节的数学表达式 $x(t)$ 为:

$$x(t) = \begin{cases} 0 & 0 \leq \omega t \leq \alpha_1 \\ k[A \sin \omega t - a] & \alpha_1 < \omega t \leq \alpha_2 \\ b & \alpha_2 < \omega t \leq \frac{\pi}{2} \end{cases}$$

该特性为单值奇函数, 所以根据定义得:  $A_0 = A_1 = \phi_0 = 0$ , 且 $x(t)$ 在半周期内对称, 则输出 $x(t)$ 的基波分量为 $x(t) = B_1 \sin \omega t$ , 其中:

$$\begin{aligned} B_1 &= \frac{1}{\pi} \int_0^{2\pi} x(t) \sin \omega t d(\omega t) = \frac{4}{\pi} \int_0^{\frac{\pi}{2}} x(t) \sin \omega t d(\omega t) \\ &= \frac{4}{\pi} \left[ \int_{\alpha_1}^{\alpha_2} k[A \sin \omega t - a] \sin \omega t d(\omega t) + \int_{\alpha_2}^{\frac{\pi}{2}} b \sin \omega t d(\omega t) \right] \\ &= \frac{4k}{\pi} \left[ \int_{\alpha_1}^{\alpha_2} [A(\sin \omega t)^2 - a \sin \omega t] d(\omega t) + \int_{\alpha_2}^{\frac{\pi}{2}} (a1 - a) \sin \omega t d(\omega t) \right] \\ &= \frac{4k}{\pi} \left[ A \left( \frac{\omega t}{2} - \frac{1}{4} \sin 2\omega t \right) \Big|_{\alpha_1}^{\alpha_2} + a \cos \omega t \Big|_{\alpha_1}^{\alpha_2} - (a1 - a) \cos \omega t \Big|_{\alpha_2}^{\frac{\pi}{2}} \right] \end{aligned}$$

## 第七章 7-1-1续

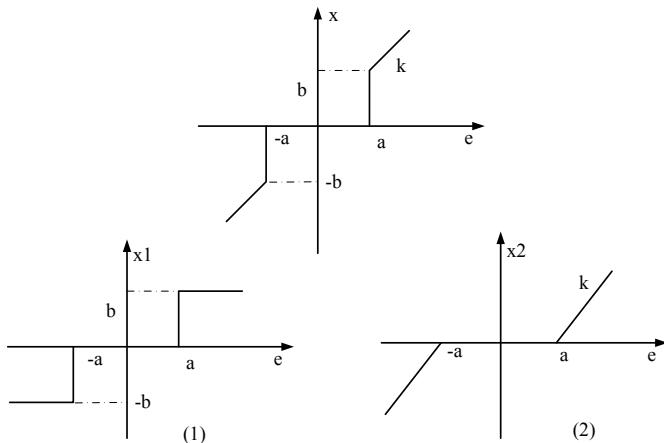
续上式计算:

$$\begin{aligned} B_1 &= \frac{4k}{\pi} \left[ \frac{A}{2} (\alpha_2 - \alpha_1) - \frac{A}{4} \sin 2\alpha_2 + \frac{A}{4} \sin 2\alpha_1 + a \cos \alpha_2 - a \cos \alpha_1 + (a1 - a) \cos \alpha_2 \right] \\ &= \frac{4k}{\pi} \left[ \frac{A}{2} \left( \arcsin \frac{a1}{A} - \arcsin \frac{a}{A} \right) - \frac{A}{2} \frac{a1}{A} \sqrt{1 - \left( \frac{a1}{A} \right)^2} + \frac{A}{2} \frac{a}{A} \sqrt{1 - \left( \frac{a}{A} \right)^2} + a1 \cos \alpha_2 - a \cos \alpha_1 \right] \\ &= \frac{4k}{\pi} \left[ \frac{A}{2} \left( \arcsin \frac{a1}{A} - \arcsin \frac{a}{A} \right) - \frac{A}{2} \frac{a1}{A} \sqrt{1 - \left( \frac{a1}{A} \right)^2} + \frac{A}{2} \frac{a}{A} \sqrt{1 - \left( \frac{a}{A} \right)^2} \right. \\ &\quad \left. + a1 \sqrt{1 - \left( \frac{a1}{A} \right)^2} - a \sqrt{1 - \left( \frac{a}{A} \right)^2} \right] \\ &= \frac{2kA}{\pi} \left[ \arcsin \frac{a1}{A} - \arcsin \frac{a}{A} + \frac{a1}{A} \sqrt{1 - \left( \frac{a1}{A} \right)^2} - \frac{a}{A} \sqrt{1 - \left( \frac{a}{A} \right)^2} \right] \end{aligned}$$

代入  $a1 = \frac{b-ak}{k}$ , 整理得:

$$N(A) = \frac{B_1}{A} = \frac{2k}{\pi} \left[ \arcsin \left( \frac{b-ak}{Ak} \right) - \arcsin \left( \frac{a}{A} \right) + \frac{b-ak}{Ak} \sqrt{1 - \left( \frac{b-ak}{Ak} \right)^2} - \frac{a}{A} \sqrt{1 - \left( \frac{a}{A} \right)^2} \right]$$

(2) 从图中得知该非线性特性环节由下列两个非线性环节并联得到(即具有死区的继电器特性和死区特性), 其输出特性图如下图所示:



根据非线性系统的并联化简得知,系统的描述函数等于这两个非线性环节描述函数的叠加, 即  $N(A) = N_1(A) + N_2(A)$ .

## 第七章 7-1-2续

具有死区的继电器特性和死区特性的输出表达式为:

$$x_1(t) = \begin{cases} 0 & 0 < \omega t \leq \alpha_1 \\ b & \alpha_1 \leq \omega t \leq \frac{\pi}{2} \end{cases} \quad x_2(t) = \begin{cases} 0 & 0 < \omega t \leq \alpha_1 \\ k[A \sin \omega t - a] & \alpha_1 \leq \omega t \leq \frac{\pi}{2} \end{cases}$$

则可分别求取其描述函数  $N_1(A)$  和  $N_2(A)$ , 两个特性均为单值奇函数, 所以根据定义得:  $A_0 = A_1 = \phi_0 = 0$ , 则输出  $x_1(t)$  的基波分量为  $x_1(t) = B_1 \sin \omega t$ , 其中:

$$B_1 = \frac{4}{\pi} \int_0^{\frac{\pi}{2}} x_1(t) \sin \omega t d(\omega t) = \frac{4}{\pi} \left[ \int_{\alpha_1}^{\frac{\pi}{2}} b \sin \omega t d(\omega t) \right] = \frac{4b}{\pi} \sqrt{1 - \left(\frac{a}{A}\right)^2}$$

整理得:

$$N_1(A) = \frac{B_1}{A} = \frac{4b}{A\pi} \sqrt{1 - \left(\frac{a}{A}\right)^2}$$

$$\text{同理得 } N_2(A) = k - \frac{2k}{\pi} \left[ \arcsin\left(\frac{a}{A}\right) + \frac{a}{A} \sqrt{1 - \left(\frac{a}{A}\right)^2} \right]$$

$$N(A) = N_1(A) + N_2(A) = \frac{4b}{A\pi} \sqrt{1 - \left(\frac{a}{A}\right)^2} + k - \frac{2k}{\pi} \left[ \arcsin\left(\frac{a}{A}\right) + \frac{a}{A} \sqrt{1 - \left(\frac{a}{A}\right)^2} \right]$$

## 第七章 7-1-2续

详细求解 $N_2(A)$ :

$x_2(t) = B_2 \sin \omega t$ , 其中:

$$B_1 = \frac{4}{\pi} \int_0^{\frac{\pi}{2}} x_2(t) \sin \omega t d(\omega t) = \frac{4}{\pi} \left[ \int_{\alpha_1}^{\frac{\pi}{2}} k[A \sin \omega t - a] \sin \omega t d(\omega t) \right]$$

根据三角函数的化简公式得:

$$\begin{aligned} &= \frac{4k}{\pi} \left[ \int_{\alpha_1}^{\frac{\pi}{2}} A \sin^2(\omega t) d(\omega t) - \int_{\alpha_1}^{\frac{\pi}{2}} a \sin(\omega t) d(\omega t) \right] \\ &= \frac{4k}{\pi} \left[ \int_{\alpha_1}^{\frac{\pi}{2}} A \frac{1 - \cos 2\omega t}{2} d(\omega t) - a \cos \alpha_1 \right] \\ &= \frac{2Ak}{\pi} \left[ \frac{\pi}{2} - \alpha_1 - \frac{1}{2}(\sin \pi - \sin 2\alpha_1) - \frac{2a}{A} \cos \alpha_1 \right] \\ &= \frac{2Ak}{\pi} \left[ \frac{\pi}{2} - \alpha_1 + \sin \alpha_1 \sqrt{1 - \sin^2 \alpha_1} - \frac{2a}{A} \sqrt{1 - \sin^2 \alpha_1} \right] = \frac{2Ak}{\pi} \left[ \frac{\pi}{2} - \arcsin\left(\frac{a}{A}\right) - \frac{a}{A} \sqrt{1 - \left(\frac{a}{A}\right)^2} \right] \\ N_2(A) &= \frac{B_2}{A} = \frac{2k}{\pi} \left[ \frac{\pi}{2} - \arcsin\left(\frac{a}{A}\right) - \frac{a}{A} \sqrt{1 - \left(\frac{a}{A}\right)^2} \right] \end{aligned}$$

由题意可知，非线性环节为具有饱和放大器特性，则其描述函数为：

$$N(A) = \frac{2k}{\pi} \left[ \arcsin\left(\frac{a}{A}\right) + \frac{a}{A} \sqrt{1 - \left(\frac{a}{A}\right)^2} \right] \quad A \geq a$$

因为  $a = 1, k = 1$ , 则

$$N(A) = \frac{2}{\pi} \left[ \arcsin\left(\frac{1}{A}\right) + \frac{1}{A} \sqrt{1 - \left(\frac{1}{A}\right)^2} \right] \quad A \geq 1$$

$$-\frac{1}{N(A)} = \frac{-\pi}{2 \arcsin\left(\frac{1}{A}\right) + \frac{2}{A} \sqrt{1 - \left(\frac{1}{A}\right)^2}} \quad A \geq 1$$

由上式可知，描述函数的负倒数特性起始于  $(-1, j0)$  点，并随着幅值  $A$  的增大沿着负实轴向左移动，趋向负无穷。



已知  $G(s) = \frac{K}{s(0.5s+1)(0.2s+1)}$ , 则:

$$G(j\omega) = \frac{K}{j\omega(0.5j\omega + 1)(0.2j\omega + 1)}$$

$$\phi(\omega) = -90^\circ - \arctan 0.5\omega - \arctan 0.2\omega = -180^\circ$$

$$\Rightarrow \arctan 0.5\omega + \arctan 0.2\omega = 90^\circ \Rightarrow \frac{0.5\omega + 0.2\omega}{1 - 0.5\omega \times 0.2\omega} = \infty$$

$$\Rightarrow \omega = \sqrt{10}$$

系统处于临界稳定状态时, 对应  $K$  值应满足下式(代入  $\omega = \sqrt{10}$ )

$$|G(j\omega)| = \frac{K}{\omega \sqrt{(0.5\omega)^2 + 1} \sqrt{(0.2\omega)^2 + 1}} = 1$$

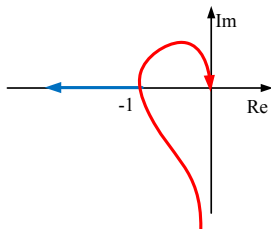
$$\Rightarrow K = 7$$

(2) 描述函数的负倒数特性曲线与  $G(j\omega)$  的频率特性曲线相交于负实轴一点  $(-\frac{K}{7}, j0)$ ,  
当  $K = 10$  时, 在交点处有自持振荡, 其振荡频率  $\omega = \sqrt{10}$ , 振幅  $A$  由下式求得。

$$-\frac{1}{N(A)} = \frac{-\pi}{2 \arcsin(\frac{1}{A}) + \frac{2}{A} \sqrt{1 - (\frac{1}{A})^2}} = -\frac{10}{7}$$

$$\Rightarrow A = 1.72$$

注意: 从上式得:  $N(A) = 0.7$ , 且  
有  $k = 1, a = 1$ , 则由饱和非线性元件的描述函数曲线得知应变量  $\frac{N(A)}{k} = 0.7$ , 此时曲线对应的自变量查图为  $\frac{a}{A} = 0.58$ , 即  $A = 1.72$ .



由题意得，图示框图中含有具有死区的继电器特性的非线性环节，其描述函数如下：

$$N(A) = \frac{4b}{A\pi} \sqrt{1 - \left(\frac{a}{A}\right)^2} \quad (A \geq a)$$

又有  $G(s) = \frac{3}{s(0.8s+1)(s+1)}$ ，则：

$$G(j\omega) = \frac{3}{j\omega(0.8j\omega + 1)(j\omega + 1)}$$

$$\phi(\omega) = -90^\circ - \arctan 0.8\omega - \arctan \omega = -180^\circ$$

$$\Rightarrow \arctan 0.8\omega + \arctan \omega = 90^\circ \Rightarrow \omega = \frac{\sqrt{5}}{2}$$

从而求得

$$|G(j\omega)| = \frac{3}{\omega \sqrt{(0.8\omega)^2 + 1} \sqrt{\omega^2 + 1}} = \frac{4}{3}$$

即  $G(j\omega)$  的频率特性曲线相交于负实轴一点  $(-\frac{4}{3}, j0)$ 。

由上述描述函数可知:

$$-\frac{1}{N(A)} = \frac{-A\pi}{4b\sqrt{1-(\frac{a}{A})^2}} \quad (A \geq a)$$

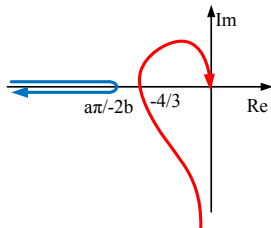
当  $A = a$  时,  $-\frac{1}{N(A)} \rightarrow -\infty$ ,

当  $A = \infty$  时,  $-\frac{1}{N(A)} \rightarrow -\frac{a\pi}{2b}$ , 当  $A = \sqrt{2}a$  时,

取得最大值  $-\frac{1}{N(A)} = -\frac{a\pi}{2b}$ .

要使得系统不产生自激振荡, 则描述函数的负倒数特性曲线与  $G(j\omega)$  的频率特性曲线在负实轴不相交。即:

$$-\frac{a\pi}{2b} < -\frac{4}{3} \Rightarrow \frac{a}{b} > \frac{8}{3\pi}$$



## 第七章 7-4

由题意得，图示框图中含有具有死区特性的非线性环节，其描述函数如下：

$$N(A) = k - \frac{2k}{\pi} \left[ \arcsin\left(\frac{a}{A}\right) + \frac{a}{A} \sqrt{1 - \left(\frac{a}{A}\right)^2} \right] \quad (A \geq a)$$

其中  $k = 4, a = 1$ , 则：

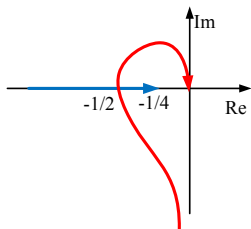
$$N(A) = 4 - \frac{8}{\pi} \left[ \arcsin\left(\frac{1}{A}\right) + \frac{1}{A} \sqrt{1 - \left(\frac{1}{A}\right)^2} \right] \quad (A \geq 1)$$

描述函数的负倒数特性：

$$-\frac{1}{N(A)} = \frac{-1}{4 - \frac{8}{\pi} \left[ \arcsin\left(\frac{1}{A}\right) + \frac{1}{A} \sqrt{1 - \left(\frac{1}{A}\right)^2} \right]} \quad (A \geq a)$$

当  $A = 1$  时,  $-\frac{1}{N(A)} \rightarrow -\infty$ ,

当  $A = \infty$  时,  $-\frac{1}{N(A)} = -\frac{1}{4}$ .



## 第七章 7-4续

又有  $G(s) = \frac{2.5}{s(0.25s+1)(s+1)}$ , 则:

$$G(j\omega) = \frac{2.5}{j\omega(0.25j\omega + 1)(j\omega + 1)}$$

$$\phi(\omega) = -90^\circ - \arctan 0.25\omega - \arctan \omega = -180^\circ$$

$$\Rightarrow \arctan 0.25\omega + \arctan \omega = 90^\circ \Rightarrow \omega = 2$$

从而求得

$$|G(j\omega)| = \frac{2.5}{\omega\sqrt{(0.25\omega)^2 + 1}\sqrt{\omega^2 + 1}} = \frac{1}{2}$$

即  $G(j\omega)$  的频率特性曲线相交于负实轴一点  $(-\frac{1}{2}, j0)$ .

由此可知, 描述函数的负倒数特性曲线与  $G(j\omega)$  的频率特性曲线必在负实轴相交, 即存在自激振荡, 振荡频率  $\omega = 2$ . 即:

$$-\frac{1}{N(A)} = \frac{-1}{4 - \frac{8}{\pi}[\arcsin(\frac{1}{A}) + \frac{1}{A}\sqrt{1 - (\frac{1}{A})^2}]} = -\frac{1}{2}$$
$$\Rightarrow A = 2.5$$

注意: 从上式得:  $N(A) = 2$ , 且有  $k = 4, a = 1$ , 则由死区非线性元件的描述函数曲线得知应变量  $\frac{N(A)}{k} = 0.5$ , 此时曲线对应的自变量查图

为  $\frac{a}{A} = 0.4$ , 即  $A = \frac{a}{0.4} = 2.5$ .

当  $1 \leq A \leq 2.5$ , 系统稳定, 当  $A > 2.5$ , 系统不稳定。

由题意得，图示框图中含有具有饱和特性的非线性环节，其描述函数如下：

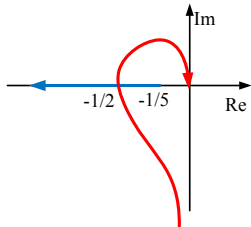
$$N(A) = \frac{2k}{\pi} \left[ \arcsin\left(\frac{a}{A}\right) + \frac{a}{A} \sqrt{1 - \left(\frac{a}{A}\right)^2} \right] \quad (A \geq a)$$

其中  $k = 5$ ,  $a = \frac{b}{5}$  则：

$$N(A) = \frac{10}{\pi} \left[ \arcsin\left(\frac{b}{5A}\right) + \frac{b}{5A} \sqrt{1 - \left(\frac{b}{5A}\right)^2} \right] \quad (A \geq \frac{b}{5})$$

描述函数的负倒数特性：

$$-\frac{1}{N(A)} = \frac{-\pi}{10 \left[ \arcsin\left(\frac{b}{5A}\right) + \frac{b}{5A} \sqrt{1 - \left(\frac{b}{5A}\right)^2} \right]}$$



## 第七章 7-5续

又有  $G(s) = \frac{3}{s(s+1)(s+2)}$ , 则:

$$G(j\omega) = \frac{3}{j\omega(j\omega + 1)(j\omega + 2)}$$

$$\phi(\omega) = -90^\circ - \arctan \omega - \arctan 0.5\omega = -180^\circ$$

$$\Rightarrow \arctan 0.5\omega + \arctan \omega = 90^\circ \Rightarrow \omega = \sqrt{2}$$

从而求得

$$|G(j\omega)| = \frac{3}{\omega\sqrt{\omega^2 + 1}\sqrt{\omega^2 + 4}} = \frac{1}{2}$$

即  $G(j\omega)$  的频率特性曲线相交于负实轴一点  $(-\frac{1}{2}, j0)$ 。

由此可知, 描述函数的负倒数特性曲线与  $G(j\omega)$  的频率特性曲线必在负实轴相交, 即存在自激振荡, 振荡频率  $\omega = 2$ 。即:

$$-\frac{1}{N(A)} = \frac{-\pi}{10[\arcsin(\frac{b}{5A}) + \frac{b}{5A}\sqrt{1 - (\frac{b}{5A})^2}]} = -\frac{1}{2}$$

注意: 从上式得:  $N(A) = 2$ , 且有  $k = 5$ , 则由饱和非线性元件的描述函数曲线得知应变变量  $\frac{N(A)}{k} = 0.4$ , 此时曲线对应的自变量查图为  $\frac{a}{A} = 0.3$ , 即  $A = \frac{a}{0.3} = 3.33a$ 。

系统稳定应满足  $A > 3.33a$ , 即  $A > 0.67b$ , 则  $b < 1.5A$ 。



已知二阶系统方程:  $\ddot{\theta} + 2\xi\omega_n\dot{\theta} + \omega_n^2\theta = 0$

解: 令  $x_1 = \theta$ ,  $x_2 = \dot{\theta}$ , 则有

$$\begin{cases} \dot{x}_1 = \dot{\theta} = x_2 \\ \dot{x}_2 = \ddot{\theta} = -2\xi\omega_n\dot{\theta} - \omega_n^2\theta = -2\xi\omega_n x_2 - \omega_n^2 x_1 \end{cases}$$

因此, 将上述表达式相除, 得到:

$$\frac{dx_2}{dx_1} = \alpha = \frac{-2\xi\omega_n x_2 - \omega_n^2 x_1}{x_2}$$

$$\Rightarrow x_2 = \frac{-\omega_n^2 x_1}{\alpha + 2\xi\omega_n}$$

当  $\alpha$  取不同值时, 得到不同斜率的等倾线, 在每一条等倾线上作一系列相应斜率的短线。

(1)  $\omega_n = 2$ ,  $\xi = 0.5$ , 则  $x_2 = \frac{-4x_1}{\alpha+2}$ , 求得不同  $\alpha$  的等倾线。

$\alpha = 0$ ,  $x_2 = -2x_1$ ;  $\alpha = 1$ ,  $x_2 = -1.33x_1$ ;  $\alpha = -1$ ,  $x_2 = -4x_1$ ;

$\alpha = -3$ ,  $x_2 = 4x_1$ ;  $\alpha = -5$ ,  $x_2 = 1.33x_1$ ;  $\alpha = \infty$ ,  $x_2 = 0$ ;

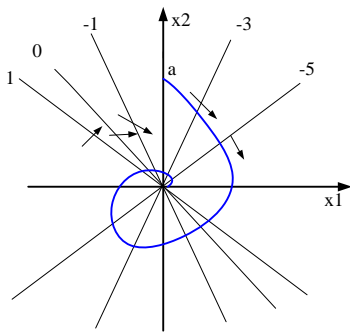
(2)  $\omega_n = 2$ ,  $\xi = 1$ , 则  $x_2 = \frac{-4x_1}{\alpha+4}$ , 求得不同  $\alpha$  的等倾线。

$\alpha = 0$ ,  $x_2 = -x_1$ ;  $\alpha = 1$ ,  $x_2 = -0.8x_1$ ;  $\alpha = -1$ ,  $x_2 = -1.33x_1$ ;

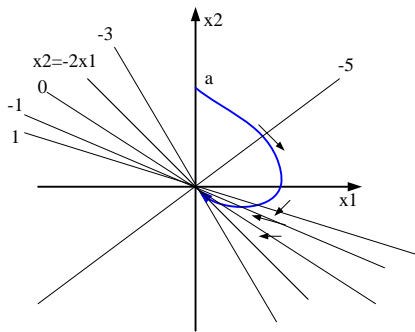
$\alpha = -3$ ,  $x_2 = -4x_1$ ;  $\alpha = -5$ ,  $x_2 = 4x_1$ ;  $\alpha = \infty$ ,  $x_2 = 0$ ;

## 第七章 7-6续

下图分别为 $\xi = 0.5$ 和 $\xi = 1$ 的相迹图:



(a) 阻尼系数为0.5



(b) 阻尼系数为1

注意: 当 $\xi = 1$ 时, 系统的特征根为两个相同的负实根, 此时, 相迹图的渐近线存在一条特殊的等倾线, 相轨迹最终沿着这条特殊的等倾线趋于原点。

## 第七章 7-7

从框图得知, 该非线性环节为饱和特性, 设其输入信号为 $e(t)$ , 输出信号为 $m(t)$ . 首先, 以线性部分来列微分方程有:

$$\ddot{c} + \dot{c} = 2m$$

又有 $r - e = c$ , 求导后代入上式有:

$$\ddot{e} + \dot{e} + 2m = \ddot{r} + \dot{r}$$

根据饱和特性非线性环节的特点, 由边界线 $e = e_0, e = -e_0$ , 分割成单个区域, 其输出表达式为:

$$m(t) = \begin{cases} e, & |e| < e_0 \\ -1, & e < -e_0 \\ 1, & e > e_0 \end{cases}$$

针对其3个不同区域, 得到不同的方程:

$$\begin{cases} \ddot{e} + \dot{e} + 2e = \ddot{r} + \dot{r}, & |e| < e_0 & (1) \\ \ddot{e} + \dot{e} - 2 = \ddot{r} + \dot{r}, & e < -e_0 & (2) \\ \ddot{e} + \dot{e} + 2 = \ddot{r} + \dot{r}, & e > e_0 & (3) \end{cases}$$

假设输入信号为单位阶跃:  $r(t) = 1(t)$ , 则  $\dot{r}(t) = \ddot{r}(t) = 0$ .

(1) 讨论在方程式(1)的情况, 即  $\ddot{e} + \dot{e} + 2e = \ddot{r} + \dot{r} = 0$ , 方程变成线性方程, 可以依据等倾线方法, 求取其等倾线方程:

$$\dot{e} = -\frac{2}{1+\alpha}e \quad |e| < e_0$$

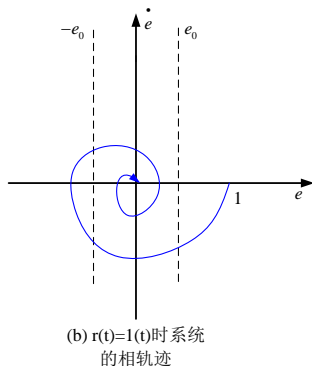
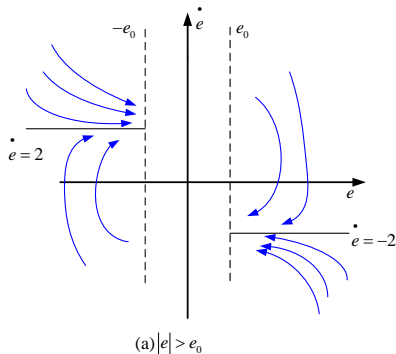
(2) 同理, 求取方程式(2)与(3)对应的等倾线方程:

$$\dot{e} = \frac{2}{1+\alpha}e \quad e < -e_0$$

$$\dot{e} = -\frac{2}{1+\alpha}e \quad e > e_0$$

可以看出, 方程(2)和(3)对应的等倾线是一族水平线。

相轨迹图如下: (a)是在正饱和区和负饱和区的相轨迹,  
(b)  $r(t) = 1(t)$  时的相轨迹。



(1)从图中可知，系统非线性环节为饱和特性，其描述函数为：

$$N(A) = \frac{2k}{\pi} \left[ \arcsin\left(\frac{a}{A}\right) + \frac{a}{A} \sqrt{1 - \left(\frac{a}{A}\right)^2} \right] \quad (A \geq a)$$

其中  $k = \frac{\pi}{a}$ ，则：

$$N(A) = \frac{2}{a} \left[ \arcsin\left(\frac{a}{A}\right) + \frac{a}{A} \sqrt{1 - \left(\frac{a}{A}\right)^2} \right] \quad (A \geq a)$$

描述函数的负倒数特性：

$$-\frac{1}{N(x)} = \frac{-a}{2 \left[ \arcsin\left(\frac{a}{x}\right) + \frac{a}{x} \sqrt{1 - \left(\frac{a}{x}\right)^2} \right]} \quad (x \geq a)$$

当  $x = a$  时， $-\frac{1}{N(x)} = -\frac{a}{\pi}$ ，当  $A = \infty$  时， $-\frac{1}{N(x)} \rightarrow -\infty$ 。所以其负倒特性曲线起始于  $(-\frac{a}{\pi}, j0)$  点，沿着负实轴趋向负无穷。

(2) 线性部分的传递函数为:  $G(s) = \frac{K}{s(s+1)(s+2)}$ , 则:

$$G(j\omega) = \frac{K}{j\omega(j\omega + 1)(j\omega + 2)}$$

$$\phi(\omega) = -90^\circ - \arctan \omega - \arctan 0.5\omega = -180^\circ$$

$$\Rightarrow \arctan 0.5\omega + \arctan \omega = 90^\circ \Rightarrow \omega = \sqrt{2}$$

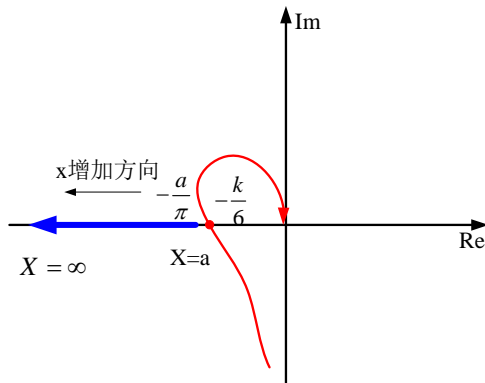
从而求得

$$|G(j\omega)| = \frac{K}{\omega\sqrt{\omega^2 + 1}\sqrt{\omega^2 + 4}} = \frac{K}{6}$$

即  $G(j\omega)$  的频率特性曲线相交于负实轴一点  $(-\frac{K}{6}, j0)$ .

## 第七章 7-8续

负倒特性曲线如下图蓝色所示，线性部分奈氏图如下图红色曲线所示：



(3) 系统存在稳定周期振荡的范围，即描述函数的负倒数特性曲线与 $G(j\omega)$ 的频率特性曲线在负实轴不相交。即：

$$-\frac{\pi}{a} < -\frac{K}{6} \Rightarrow \frac{6a}{\pi} < K < \infty$$